Влияние золь-гель пассивации SiO₂ на оптические характеристики InGaAsN/GaAs микролазеров

И. А. Мельниченко^{1, 2)}, Т. М. Шугабаев²⁾, Н. А. Фоминых¹⁾, И. С. Махов¹⁾, Э. И. Моисеев¹⁾, В. О. Гридчин²⁾, А. Е. Жуков¹⁾, Н. В. Крыжановская¹⁾, Е. В. Луценко³⁾

1) Национальный исследовательский университет «Высшая школа экономики», Санкт-Петербург, Россия, e-mail:imelnichenko@hse.ru

В работе исследовано влияние пассивации поверхности слоем SiO_2 , нанесённым методом золь-гель синтеза, на оптические характеристики GaAs мезаструктур с InGaAs/GaAs квантовыми ямами и микролазеров с активной областью из InGaAsN/GaAs квантовых ям. Показано значительное увеличение интенсивности фотолюминесценции мезаструктур, а так же снижение пороговой мощности возникновения лазерной генерации при оптической накачке, а также уменьшение пороговой плотности тока для микролазеров с электрической инжекцией после пассивации. Полученные результаты подтверждают эффективность метода золь-гель пассивации для улучшения характеристик полупроводниковых излучающих структур.

Ключевые слова: пассивация поверхности; золь-гель метод; микролазеры; InGaAsN/GaAs квантовые ямы; фотолюминесценция; электролюминесценция.

Effect of sol-gel passivation of SiO₂ on the optical characteristics of InGaAsN/GaAs microlasers

I. A. Melnichenko^{1, 2)}, T. M. Shugabaev²⁾, N. A. Fominykh¹⁾, I. S. Makhov¹⁾, E. I. Moiseev¹⁾, V. O. Gridchin²⁾, A. E. Zhukov¹⁾, N. V. Kryzhanovskaya¹⁾, E. V. Lutsenko³⁾

1)HSE University, Saint-Petersburg, Russia, e-mail: imelnichenko@hse.ru 2) Alferov University, Saint-Petersburg, Russia, e-mail:melniczenko@spbau.ru 3) B. I. Stepanoy Institute of Physics of the NAS of Belarus, Minsk, Belarus

The study investigates the effect of surface passivation with a SiO_2 layer applied by sol-gel synthesis on the optical characteristics of GaAs mesostructures with InGaAs/GaAs quantum wells and microlasers with an active region made of InGaAsN/GaAs quantum wells. A significant increase in the photoluminescence intensity of mesostructures is shown, as well as a decrease in the threshold power for laser generation during optical pumping, and a decrease in the threshold current density for electrically injected microlasers after passivation. The results confirm the effectiveness of the sol-gel passivation method for improving the characteristics of semiconductor emitting structures.

Keywords: surface passivation; sol-gel method; microlasers; InGaAsN/GaAs quantum wells; photoluminescence; electroluminescence.

²⁾ Академический университет им. Ж. И. Алферова, Санкт-Петербург, Россия, e-mail:melniczenko@spbau.ru

³⁾Институт физики им. Б. И. Степанова НАН Беларуси, Минск, Беларусь

Введение

Сегодня полупроводники AIIIBV являются основными материалами современной оптоэлектроники, обладающие высокой подвижностью электронов и прямозонной структурой, обеспечивающей широкий спектр приложений – от высокоскоростных систем оптической связи до эффективных солнечных элементов. Существенной проблемой, ограничивающей миниатюризацию устройств на основе GaAs, является высокая плотность поверхностных состояний и скорость поверхностной рекомбинации (10⁵–10⁶ см/с) [1]. Это обусловлено большим количеством дефектов, оборванных связей и паразитных оксидов на поверхности полупроводника, которые приводят к безызлучательной поверхностной рекомбинации. Высокая скорость безызлучательной поверхностной рекомбинации особенно критична для микро- и наноструктур, таких как микролазеры, где используется травление эпитаксиальных слоев и существует высокое значение отношения площади поверхности прибора к его объему.

Для уменьшения негативного влияния поверхностных эффектов традиционно используется методика пассивации. К числу традиционных подходов относятся химическая обработка сульфидами, такими как (NH4)₂S [2], нитридирование поверхности, плазменная обработка, а также осаждение диэлектрических плёнок методом атомно-слоевого осаждения [3]. Однако, указанные технологии имеют ряд серьёзных недостатков, таких как необходимость обработки образцов в высоких температурах и воздействие плазмы, что может приводить к термическим напряжениям или повреждению поверхности, нивелируя преимущества пассивации. В качестве еще одного метода пассивации всё большее внимание привлекает метод золь-гель синтеза [4–6], который подразумевает формирование тонких пленок из коллоидного раствора при комнатной температуре, что делает этот подход исключительно щадящим. Эффективность метода подтверждена рядом исследований, сообщающих о значительном увеличении фотолюминесценции (ФЛ) как для структур GaAs, так и для наноструктур InGaN [7, 8].

Настоящая работа посвящена всестороннему исследованию эффективности пассивирующего покрытия SiO₂, полученного методом золь-гель синтеза, для микроструктур на основе GaAs. Исследовалось изменение оптических свойств мезаструктур с InGaAs/GaAs квантовыми ямами (КЯ) после нанесения золь-гель слоя SiO₂. Демонстрируются существенное улучшение оптических свойств микро-лазеров с модами шепчущей галереи на основе InGaAsN/GaAs КЯ, работающих при оптической и электрической накачке.

1. Материалы и методы

Структуры для создания мех и микролазеров выращивались методом молекулярно-пучковой эпитаксии на подложке GaAs (100). Структура содержала одну КЯ, сформированную слоем In_{0.2}Ga_{0.8}As толщиной 10 нм, расположенным в центре слоя GaAs толщиной 200 нм, и сверхрешётку, состоящую из 10 периодов слоев GaAs/AlAs толщиной 2 нм/2 нм. Далее из эпитаксиальной структуры были сформированы цилиндрические мезаструктуры методом фотолитографии и плазменно-химического травления. Пассивация с помощью золь-гель метода проводилась по методу Штобера [9]

для всех образцов и начиналась с добавления этанола и деионизированной воды к образцу, после чего вводился поверхностно-активный агент — бромид цетилтриметиламмония и прекурсор тетраэтоксисилан (TEOS). Смесь выдерживалась в течение 30 минут, что приводило к формированию пассивирующего слоя SiO_2 толщиной около 10 нм на поверхности мез.

Активная область эпитаксиальных структур для микролазеров содержала три $Ga_{0.7}In_{0.3}N_{0.02}As_{0.98}$ КЯ, разделённых 10-нм слоями GaAs. Для формирования микродисков «грибовидной» формы с пьедесталом в структуру включался жертвенный слой $Al_{0.8}Ga_{0.2}As$ толщиной 1 мкм, удаляемый методом жидкофазного химического травления. Микролазеры с инжекционной накачкой были выполнены в конфигурации p-i-n диода. Активная область содержала три $Ga_{0.7}In_{0.3}N_{0.02}As_{0.98}$ КЯ, которые располагались в центре GaAs волновода толщиной 400 нм и ограничивалась с двух сторон барьерными слоями $Al_{0.25}Ga_{0.75}As$ толщиной 2 мкм. Омические контакты формировались с использованием AgMn/NiAu для верхнего p-контакта и AuGe/Ni/Au для нижнего n-контакта.

Оптические свойства микролазеров исследовались как при комнатной, так и при пониженных температурах в нормальной геометрии. Для накачки оптических структур использовался Nd:YLF лазер с длиной волны 527 нм, работающий в непрерывном режиме. Мощность лазерного излучения изменялась с помощью вращающегося градиентного фильтра и направлялось на образец с помощью системы зеркал и оптических фильтров и фокусировалось на поверхности структуры с помощью микрообъектива Mitutoyo MPlan ApoNIR 10х. Этот же объектив использовался для сбора излучения ФЛ с поверхности образца. Сигнал ФЛ микродисков направлялся по оптическому треку на входную щель монохроматора Andor Shamrock 500i, с InGaAs CCD матрицей.

Для исследования структур с инжекционной накачкой контакт к верхнему электроду осуществлялся с помощью игольчатого зонда из вольфрама диаметром 15 мкм. Для накачки лазеров использовались электрические импульсы частотой 5 кГц и длительностью 500 нс. Сбор излучения микролазеров происходил с помощью микро-объектива Mitutoyo M Plan Apo NIR HR 20х при его фокусировке на боковой поверхности исследуемого микродискового лазера.

2. Полученные результаты

На рис. 1, a представлены спектры ФЛ мез диаметром 1,25 мкм до пассивации и сразу после неё. На спектрах наблюдаются максимумы интенсивности ФЛ, соответствующие переходам в сверхрешетке GaAs/AlAs (845 нм), GaAs (870 нм), а также линия в диапазоне 950–1000 нм, характеризующая излучение $In_{0.2}Ga_{0.8}As/GaAs$ КЯ.

На рис. 1, δ показана зависимость интегральной интенсивности ФЛ в спектральном диапазоне 900–1020 нм от диаметра исследованных мез. Увеличение интенсивности ФЛ наблюдается для всех исследованных диаметров 1,25–20 мкм. Наибольшее увеличение интегральной интенсивности ФЛ $In_{0.2}Ga_{0.8}As/GaAs$ КЯ наблюдается для мезаструктур диаметром 1,25 мкм и составляет 50 раз. С ростом диаметра мез вклад безызлучательной рекомбинации уменьшается, вследствие чего наибольший эффект пассивации проявляется для малых мез диаметром 1,25–3 мкм.

Для таких диаметров мез реализация лазеров затруднительна, и в дальнейшем исследовались лазеры, с резонатором диаметром более 8 мкм.

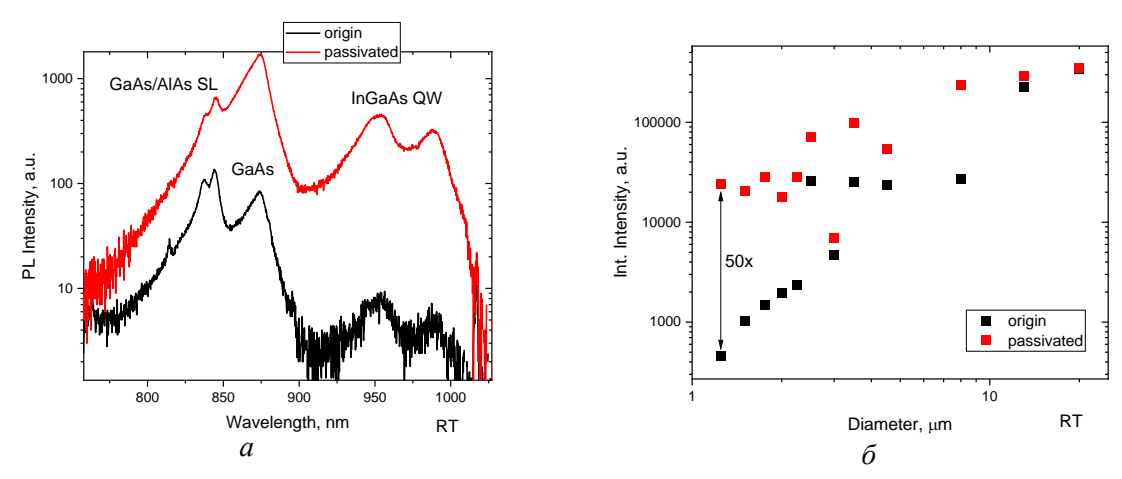
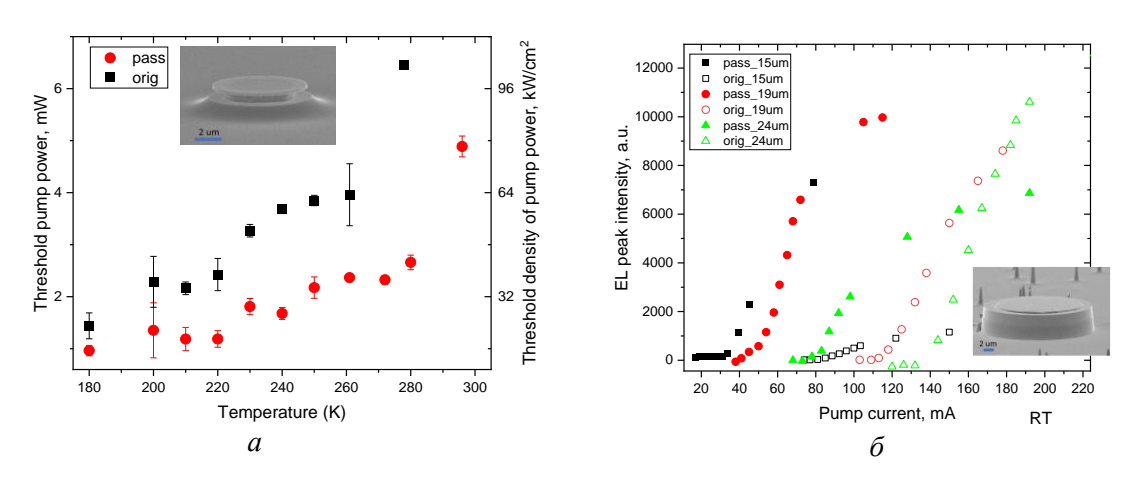


Рис. 1. Спектры Φ Л до и после пассивации для образца с мезами диаметром 1,25 мкм (*a*); интегральная интенсивность Φ Л для мез разных диаметров до и после пассивации (δ)

Исследование температурной динамики порога лазерной генерации для пассивированных и непасивированных микролазеров с оптической накачкой продемонстрировано на рис. 2. а на примере микролазеров диаметром 8 мкм. Наблюдается снижение порога лазерной генерации во всем диапазоне исследованных температур от 180 К до 300 К. Важно отметить, что при комнатной температуре у микролазеров до пассивации лазерная генерация не достигалась. После пассивации пороговая плотность мощности накачки микролазеров при температуре 180 К снижается в 1,5 раза. Максимальное снижение пороговой плотности мощности накачки достигло 2,43 раза при 280 К.



 $Puc.\ 2.\ 3$ ависимость пороговой мощности от температуры для микролазера диаметром 8 мкм до и после пассивации (a);

зависимость максимальной интенсивности для пассивированных и исходных инжекционных микролазеров диаметром 15 мкм, 19 мкм и 24 мкм от тока накачки (δ)

Для исследования влияния пассивации поверхности SiO₂ было изучено влияние пассивации на структуры с электрической инжекцией при комнатной температуре,

рис. 2, б. Увеличение интенсивности электролюминесценции при фиксированном уровне накачки и уменьшение порогового тока лазерной генерации наблюдалось для всех исследованных диаметров инжекционных микролазеров (15–23 мкм). Наибольшее снижение пороговой плотности тока наблюдалось для микролазера 15 мкм – с 45,8 кА/см² до 20,1 кА/см². Абсолютные значения порогового тока для пассивированных микролазеров остаются значительно ниже во всем диапазоне размеров.

Заключение

Исследовано влияние пассивации поверхности с помощью слоя SiO₂, нанесенного с помощью золь-гель-процесса, на мезоструктуры GaAs с активной областью на основе InGaAs/GaAs КЯ и на микролазеры на основе GaAs с активной областью, состоящей из InGaAsN/GaAs КЯ. Максимальное усиление сигнала ФЛ для мезаструктур составило 50 для мезы диаметром 1,25 мкм. Для микролазеров с оптической накачкой пассивация методом золь-гель позволила наблюдать лазерную генерацию при комнатной температуре. Микролазеры с электрической инжекцией показали существенное снижение порога генерации после пассивации: для микролазеров 15 мкм пороговая плотность тока снизилась с 45,8 кА/см² до 20,1 кА/см².

Благодарность

Работа выполнена в ходе проведения исследования в рамках проекта «Международное академическое сотрудничество» НИУ ВШЭ. Оптические измерения проводились на уникальной научной установке «Комплексный оптоэлектронный стенд» НИУ ВШЭ- Санкт-Петербург.

Библиографические ссылки

- 1. Brief Review of Surface Passivation on III-V Semiconductor: 5 / L. Zhou [et al.] // Crystals. Multidisciplinary Digital Publishing Institute, 2018. V. 8, № 5. P. 226.
- 2. The effect of sulfide passivation on luminescence from microdisks with quantum wells and quantum dots / N. V. Kryzhanovskaya [et al.] // Tech. Phys. Lett. 2015. V. 41, № 7. P. 654–657.
- 3. Surface passivation of III–V semiconductors for future CMOS devices—Past research, present status and key issues for future / H. Hasegawa [et al.] // Applied Surface Science. 2010. V. 256, № 19. P. 5698–5707.
- 4. *Huang W.* Investigations of Sidewall Passivation Using the Sol-Gel Method on the Optoelectronic Performance for Blue InGaN Micro-LEDs / W. Huang, X. Miao, Z. Liu // Micromachines. 2023. V. 14, № 3. P. 566.
- 5. *Dehghanghadikolaei A*, Sol-gel process applications: A mini-review / A. Dehghanghadikolaei, J. Ansary, R. Ghoreishi // Proceedings of the Nature Research Society. 2018. № 2. P. 02008.
- 6. Sol-gel coatings for optoelectronic devices / Avellaneda C. [et al.]. 1994. V. 2255.
- 7. Enhanced surface passivation of GaAs nanostructures via an optimized SiO2 sol-gel shell growth / Shen J. [et al.] // Applied Physics Letters. AIP Publishing, 2024. V. 124, № 12.
- 8. Highly efficient blue InGaN nanoscale light-emitting diodes / M. Sheen [et al.] // Nature. Nature Publishing Group UK London, 2022. V. 608, № 7921. P. 56–61.
- 9. *Stöber W*. Controlled growth of monodisperse silica spheres in the micron size range / W. Stöber, A. Fink, E. Bohn // Journal of Colloid and Interface Science. 1968. V. 26, № 1. P. 62–69.